

**ОБТЕКАНИЕ СФЕРЫ ГИПЕРЗВУКОВЫМ ПОТОКОМ
РАЗРЕЖЕННОГО ГАЗА**

А. К. АРТАМОНОВ, В. Н. АРХИПОВ

(Москва)

Известно, что уравнения Навье – Стокса плохо описывают структуру ударных волн в разреженном газе. В задаче об обтекании сферы гиперзвуковым потоком разреженного газа это может привести к тому, что решение уравнений Навье – Стокса даст при малых числах Рейнольдса неверные значения параметров в ударном слое перед сферой и на поверхности сферы.

Строгое решение задачи об обтекании сферы гиперзвуковым потоком разреженного газа в рамках уравнения Больцмана, а также решение этой задачи методом прямого моделирования Монте-Карло трудоемки, особенно при больших числах Маха M_∞ набегающего потока и в области режимов течений, примыкающей к режимам сплошной среды. Поэтому оправданы поиски других путей решения задачи.

В работах [1, 2] рассмотрены задачи о структуре прямой ударной волны и о гиперзвуковом продольном обтекании плоской пластины разреженным газом на основе уравнений, полученных из общего уравнения переноса в предположении, что функция распределения является суперпозицией дельта-функции, описывающей равномерный набегающий поток, в котором тепловыми скоростями молекул можно пренебречь по сравнению со скоростью направленного движения, и функции распределения в приближении Навье – Стокса. Соответственно этому молекулы газа можно разбить на молекулы набегающего потока, концентрация которых уменьшается в направлении потока, и молекулы, описываемые функцией распределения в приближении Навье – Стокса, которые условно можно назвать молекулами «сплошной среды». Так как часть молекул набегающего потока может достигнуть твердой поверхности и отразиться от нее, не столкнувшись с другими молекулами, то в решение входит также функция распределения отраженных от поверхности молекул.

Результаты работ [1, 2] оказались в лучшем соответствии с экспериментальными данными, чем полученные в рамках уравнений Навье – Стокса. Соответствующая теория носит название «пучок – сплошная среда». Решение какой-либо задачи на основе этой теории следует рассматривать как приближенное. Степень приближения можно оценить путем сравнения результатов расчетов с экспериментальными данными либо же с результатами расчетов, проведенных в более строгой постановке.

В данной работе приводится решение задачи о структуре ударного слоя вблизи критической линии тока около сферы, обтекаемой гиперзвуковым потоком разреженного газа, полученное в рамках уравнений теории пучок – сплошная среда.

1. Основные уравнения. Если принять гипотезу об автомодельности течения вблизи критической линии тока [3], то уравнения, описывающие течение в этой области в рамках теории пучок – сплошная среда, имеют вид

$$\frac{d\rho}{dx} = -\frac{\rho V}{v} - \frac{2\rho(u+v)}{rv} + \frac{1}{v} Q_m$$

$$\frac{d}{dx}(\mu U) = R_\infty \left[\rho v U + \frac{2(p_2 - p) + \rho u(u+v)}{r} \right] + \frac{10}{3} \frac{\mu(u+v)}{r^2} +$$

$$+ \frac{1}{r} \left[\frac{d\mu}{dT} \theta(u+v) - \frac{1}{3} \mu V - 2\mu U \right] - R_\infty Q_{i\varphi}$$

$$\begin{aligned}
 \frac{dp_2}{dx} &= \frac{\rho u(u+v)}{r} + \frac{\mu}{R_\infty r} \left(\frac{u+v}{r} - U \right) \\
 \frac{dv}{dx} &= V, \quad \frac{dh}{dx} = H, \quad \frac{du}{dx} = U, \quad \frac{dT}{dx} = \theta \\
 \frac{dV}{dx} &= \frac{3R_\infty}{4\mu} \left\{ \sigma A \left[\rho \theta - \frac{\rho VT r + 2\rho T(u+v)}{rv} + \frac{T}{v} Q_m \right] + \rho v V \right\} - \\
 &- \frac{1}{\mu} \frac{d\mu}{dT} \theta V + \frac{1}{\mu} \frac{d\mu}{dT} \frac{\theta(u+v)}{r} - \frac{U}{2r} + \\
 (1.1) \quad &+ \frac{7(u+v)}{2r^2} - \frac{2V}{r} - \frac{3R_\infty}{4\mu} Q_{ir} \\
 \frac{d}{dx} (\mu H) &= P \left\{ R_\infty \left[\rho v H + \sigma A \rho \left(-\theta v + TV + \frac{2T(u+v)}{r} \right) \right] - \right. \\
 &- \mu \left[2V^2 + \frac{4}{r^2} (u+v)^2 \right] + \frac{2\mu}{3r^2} (rV + 2u + 2v)^2 \left. \right\} - \frac{2\mu H}{r} + \frac{2\mu h}{r^2} + \\
 &+ R_\infty P (-\sigma AT Q_m + v Q_{ir} - Q_e) \\
 \frac{dn_r}{dx} &= -\frac{2n_r}{r} - \frac{1}{u_r} Q_{mr}, \quad \frac{dn_b}{dx} = Q_{mb} \\
 \mu &= \mu(T), \quad p = \sigma A \rho T, \quad h = c_p T, \quad H = c_p \theta, \\
 \sigma A &= \frac{1}{(\gamma - 1) M_\infty^2}, \quad c_p = \frac{c_p^* T_\infty^*}{v_\infty^{*2}} \\
 u^* &= v_\infty^* u(x) \sin \varphi, \quad v^* = v_\infty^* v(x) \cos \varphi \\
 \rho^* &= n_{b\infty}^* \rho(x), \quad \mu^* = \mu_\infty^* \mu(x) \cos \varphi \\
 h^* &= v_\infty^{*2} [h(x) \cos^2 \varphi + h_2(x) \sin^2 \varphi] \\
 p^* &= n_{b\infty}^* m^* v_\infty^{*2} [p(x) \cos^2 \varphi + p_2(x) \sin^2 \varphi] \\
 T^* &= T_\infty^* [T(x) \cos^2 \varphi + T_2(x) \sin^2 \varphi] \\
 n_b^* &= n_{b\infty}^* n_b(x), \quad n_r^* = n_{b\infty}^* n_r(x), \quad u_r^* = v_\infty^* u_r(x)
 \end{aligned}$$

Здесь $x^* = x r_w^*$ — расстояние от поверхности сферы; r_w^* — радиус сферы; u^* , v^* — поперечная и продольная компоненты скорости сплошной среды; ρ^* , h^* , p^* , T^* , μ^* — соответственно плотность, энтальпия, давление, температура и коэффициент вязкости сплошной среды; $R_\infty = = n_{b\infty}^* v_\infty^* r_w^* / \mu_\infty^*$ — число Рейнольдса; P — число Прандтля; $r^* = r r_w^*$; r^* , φ — сферические полярные координаты; $r^* = r_w^* + x^*$; $u_b^* = v_\infty^*$ — скорость частиц набегающего потока; $u_b = u_b^* / v_\infty^* = 1$; u_r^* — скорость отраженных частиц; m^* — масса молекулы; n_b^* , n_r^* — концентрации частиц набегающего потока и отраженных от поверхности; c_p^* — удельная теплоемкость сплошной среды при постоянном давлении; γ — отношение удельных теплоемкостей.

Индекс ∞ соответствует набегающему потоку, w — поверхности тела; * — размерные величины.

Уравнения (1.1) отличаются от уравнений Навье — Стокса наличием в них слагаемых типа источников, описывающих обмен массой, импульсом и энергией между тремя названными выше классами частиц, а также

наличием в системе двух уравнений, описывающих изменение концентраций молекул набегающего потока и отраженных от тела.

Функции $Q_m, Q_{\text{т}}, Q_{\text{т}}, Q_{\text{т}}, Q_{\text{т}}, Q_e$ представляют собой интегралы, причем в подынтегральные выражения входят неизвестные до решения задачи температура, скорость и т. д. Для функции распределения, соответствующей набегающему потоку, имеющей вид дельта-функции, и для молекул — «твердых сфер», а также для простого (лучевого) закона отражения молекул от поверхности со скоростью, равной средней тепловой скорости, соответствующей температуре поверхности, могут быть получены явные выражения этих функций через параметры течения (см. [2]).

Граничные условия следующие. При $x \rightarrow \infty$ в набегающем потоке

$$(1.2) \quad \rho = n_r = U = V = H = \theta = 0 \\ u = T = 1, \quad p = p_2 = p_\infty, \quad h = h_\infty, \quad v = -1$$

При $x = 0$ (на поверхности тела) ставятся условия непротекания и скольжения.

2. Метод решения. Систему (1.1) и краевые условия можно записать в виде

$$(2.1) \quad \frac{dy_i}{dx} = f_i(x, y_1, \dots, y_n), \quad i = 1, \dots, n \\ \varphi_s(x^{(0)}, y_1^{(0)}, \dots, y_n^{(0)}) = 0, \quad s = 1, \dots, m \\ \varphi_s(x^{(1)}, y_1^{(1)}, \dots, y_n^{(1)}) = 0, \quad s = m + 1, \dots, n$$

В рассматриваемой задаче $x^{(0)} = 0$ (поверхность тела), $x^{(1)} = \infty$ (набегающий поток); граничные условия в набегающем потоке при численном решении задачи переносятся на конечное расстояние от тела.

Предположим, что функции f_i и все их частные производные по y_i непрерывно зависят от всех аргументов. Тогда существует единственное решение, удовлетворяющее начальным условиям $y_j = y_j^{(k)}$ при $x = x^{(k)}$. Пусть это будет решение $y_j = \varphi_j(x; x^{(k)}, y_1^{(k)}, \dots, y_n^{(k)})$. При $x = x^{(0)}$, $x^{(1)}$ оно принимает вид

$$y_j^{(0)} = \varphi_j(x^{(0)}; x^{(k)}, y_1^{(k)}, \dots, y_n^{(k)}), \quad y_j^{(1)} = \varphi_j(x^{(1)}; x^{(k)}, y_1^{(k)}, \dots, y_n^{(k)})$$

Тогда

$$\begin{aligned} \varphi_s(x^{(0)}, y_1^{(0)}, \dots, y_n^{(0)}) &= \\ &= \varphi_s(x^{(0)}, \varphi_1(x^{(0)}, x^{(k)}, y_1^{(k)}, \dots, y_n^{(k)}), \dots, \varphi_n(x^{(0)}, x^{(k)}, y_1^{(k)}, \dots, y_n^{(k)})) = \\ &= \Phi_s(x^{(0)}, x^{(k)}, y_1^{(k)}, \dots, y_n^{(k)}) \\ \varphi_s(x^{(1)}, y_1^{(1)}, \dots, y_n^{(1)}) &= \\ &= \varphi_s(x^{(1)}, \varphi_1(x^{(1)}, x^{(k)}, y_1^{(k)}, \dots, y_n^{(k)}), \dots, \varphi_n(x^{(1)}, x^{(k)}, y_1^{(k)}, \dots, y_n^{(k)})) = \\ &= \Phi_s(x^{(1)}, x^{(k)}, y_1^{(k)}, \dots, y_n^{(k)}) \end{aligned}$$

и краевые условия могут быть формально записаны в виде

$$(2.2) \quad \Phi_s(x^{(0)}, x^{(k)}, y_1^{(k)}, \dots, y_n^{(k)}) = 0 \quad (s = 1, \dots, m) \\ \Phi_s(x^{(1)}, x^{(k)}, y_1^{(k)}, \dots, y_n^{(k)}) = 0 \quad (s = m + 1, \dots, n)$$

Систему (2.2) можно рассматривать как систему нелинейных алгебраических уравнений относительно таких значений $y_j^{(k)}$, которые удовлетворяют краевым

условиям, и, как таковую, ее можно решать каким-либо приближенным методом, например, методом Ньютона. Значения функций $\Phi_s(x^{(0)}, x^{(k)}, y_1^{(k)}, \dots, y_n^{(k)})$, $\Phi_s(x^{(1)}, x^{(k)}, y_1^{(k)}, \dots, y_n^{(k)})$ и их производных по $y_j^{(k)}$, нужные при решении системы алгебраических уравнений методом Ньютона, можно получить численно, решив несколько раз систему (2.1) каким-либо методом от различных наборов начальных данных $y_j^{(k)}$ в интервалах $[x^{(k)}, x^{(1)}]$ и $[x^{(k)}, x^{(0)}]$. Точки $(x^{(k)}, y_j^{(k)})$ не должны быть особыми.

3. Результаты расчетов. Решение исходной задачи проводилось по программе, составленной с использованием метода Рунге — Кутты для решения задачи Коши (2.1) и метода Ньютона для решения системы алгебраических уравнений (2.2). В качестве системы (2.1) использовалась система (1.1) или система уравнений Навье — Стокса. Так как краевые точки $x=x^{(0)}$ и $x=x^{(1)}$ являются особыми точками указанных систем уравнений, начальная точка $x=x^{(k)}$ выбиралась внутри ударного слоя.

Расчеты проведены при $M_\infty=10$, $P=3/4$, $\gamma=5/3$ и $7/5$, $T_w=T_0$ и $T_w=1$ (T_0 — температура торможения в набегающем потоке). Некоторые результаты расчетов приведены на фиг. 1—4. Сплошные кривые — результаты решения системы (1.1), штриховые — результаты решения системы уравнений Навье — Стокса.

На фиг. 1, 2 ($T_w=T$, $\gamma=5/3$, $R_\infty=10$) приведены распределения параметров течения в ударном слое. На фиг. 1 n_i — суммарная плотность частиц всех трех видов. На фиг. 2 сплошными кривыми показаны функции $u_i=(n_b+\rho u)/n_i$, $v_i=(\rho v-n_b+n_r u_r)/n_i$.

Увеличение поперечного размера области повышенной температуры по сравнению с тем, который дает решение уравнений Навье — Стокса, находится в соответствии с результатами решения задачи о структуре прямой ударной волны в рамках точного и модельных уравнений Больцмана и методом Монте-Карло.

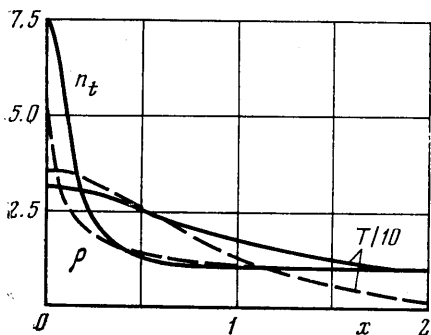
На фиг. 3 приведены зависимости отношения суммарного теплового потока $q^*(K_\infty)$ от частиц сплошной среды, пучка и отраженных от поверхности в критической точке сферы с «холодной» поверхностью ($T_w^*=T_\infty^*$) при $\gamma=7/5$ к свободномолекулярному значению теплового потока, рассчитанному при полной аккомодации энергии, q_{fm}^* . Здесь число Кнудсена $K_\infty=l_\infty^*/r_w^*$; l_∞^* — длина свободного пробега, соответствующая условиям в набегающем потоке. На этой же фигуре приведены результаты расчетов методом прямого моделирования Берда, заимствованные из работы [4] (штрихпунктирная кривая). Результаты решения уравнений теории пучок — сплошная среда находятся в неплохом соответствии с результатами Берда, тогда как уравнения Навье — Стокса дают при $K_\infty \rightarrow \infty$ сильно завышенные тепловые потоки.

На фиг. 4 приведена зависимость $p_w(R_\infty)$ в критической точке при $\gamma=7/5$ и условии, что поверхность адиабатическая ($T_w^*=T_0^*$). На оси ординат черточкой отмечен свободномолекулярный предел при полной аккомодации энергии, p_{wfm} . При $K_\infty \rightarrow \infty$ результаты решения уравнений теории пучок — сплошная среда ближе к свободномолекулярному пределу, чем результаты решения уравнений Навье — Стокса.

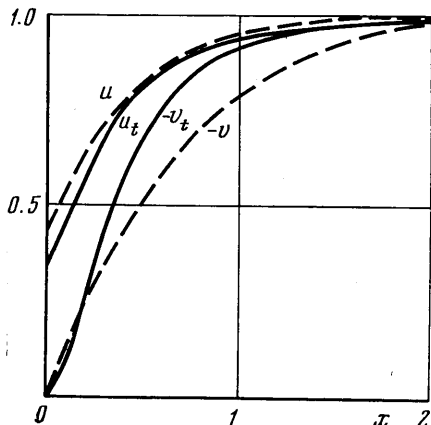
Расчеты при числах Рейнольдса $R_\infty > 100$ проводились в приближении тонкого ударного слоя методом работы [5]. Полученные при этом результаты практически совпали с результатами решения уравнений Навье — Стокса.

Погрешность, вносимую предположением об автомодельности рассматриваемого течения, которое сводит решение двумерной задачи об обтека-

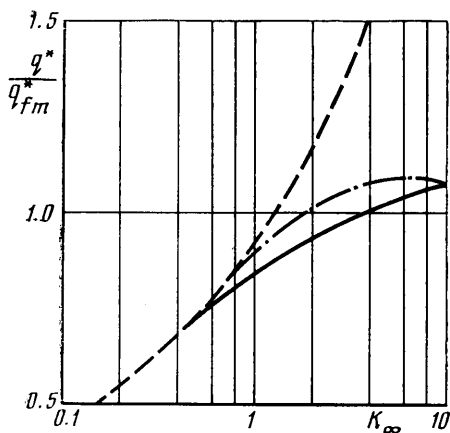
нии сферы к решению одномерной задачи, можно оценить путем сравнения результатов расчетов, проведенных в рамках уравнений Навье — Стокса с использованием и без использования этого предположения. Особенно интересен интервал чисел $R_\infty < 50$, в котором расхождение результатов, полученных на основе теории пучок — сплошная среда и уравнений



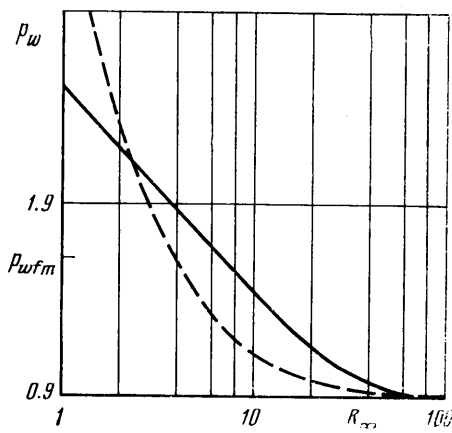
Фиг. 1



Фиг. 2



Фиг. 3



Фиг. 4

Навье — Стокса, наибольшее. К сожалению, имеются лишь немногочисленные и отрывочные результаты расчетов двумерного обтекания сферы вязким газом при $20 < R_\infty < 50$ (без предположения об автомодельности), опубликованные, например, в работах [6,7]. Кроме того, В. В. Крикунов и Ю. М. Липницкий любезно сообщили нам результаты расчета двумерного обтекания сферы по схеме третьего порядка точности [8] при $M_\infty = 2$, $R_\infty = 15$. Сравнение с результатами расчетов, проведенных в предположении об автомодельности, показало, что различие результатов решения одномерной и двумерной задач находится приблизительно в пределах 10%. Это не превышает разброса опубликованных в научной литературе результатов расчетов обтекания сферы гиперзвуковым потоком разреженного газа во всей области режимов обтекания, промежуточной между режимами сплошной среды и свободномолекулярными, полученных различными методами (методы Монте-Карло; решения модельных кинетиче-

ских уравнений; различные численные схемы решения уравнений Навье—Стокса), а также разброса соответствующих экспериментальных результатов.

Отличие приведенных выше результатов расчета в рамках теории пучок — сплошная среда при $R_\infty < 50$, полученных с использованием предположения об автомодельности, от результатов, полученных методом Берда, также не превышает 10%, тогда как при этих же R_∞ результаты решения уравнений Навье — Стокса отличаются от результатов, полученных методом прямого моделирования, гораздо больше. Отсюда следует, что в указанной области применение теории пучок — сплошная среда более оправдано, чем применение уравнений Навье — Стокса.

Поступила 6 VII 1978

ЛИТЕРАТУРА

1. *Turcotte D. L., Scholnick I. M.* Structure of strong shock waves. *Phys. Fluids*, 1969, vol. 12, No. 5, pt 2.
2. *Kot S. C., Turcotte D. L.* Beam-continuum model for hypersonic flow over a flat plate. *AIAA Journal*, 1972, vol. 10, No. 3.
3. *Левинский Е., Иосихара Х.* Обтекание сферы гиперзвуковым потоком разреженного газа. В кн.: Исследование гиперзвуковых течений. М., «Мир», 1964.
4. *Jain A. C., Adimurthy V.* Hypersonic merged stagnation shock layers. *AIAA Journal*, 1974, vol. 12, No. 3.
5. *Архипов В. Н., Поленов А. Н.* Обтекание сферы гиперзвуковым потоком вязкого релаксирующего газа. *Изв. АН СССР. МЖГ*, 1971, № 3.
6. *Молодцов В. К., Толстых А. Н.* О расчете сверхзвукового вязкого обтекания затупленных тел. В сб. Тр. секции по числ. методам в газовой динамике 2-го Междунар. коллоквиума по газодинамике взрыва и реагирующих систем, т. 1. М., ВЦ АН СССР, 1971.
7. *Павлов Б. М.* О решении полных уравнений Навье — Стокса в задачах обтекания затупленных тел. В сб. Тр. секции по числ. методам в газовой динамике 2-го Междунар. коллоквиума по газодинамике взрыва и реагирующих систем, т. 1. М., ВЦ АН СССР, 1971.
8. *Еремин В. В., Липницкий Ю. М.* О построении многомерных разностных схем третьего порядка точности. *Ж. вычисл. матем. и матем. физ.*, 1974, т. 14, № 2.